

基于国密算法 SM9 的环签密方案

谢振杰^{1,2}, 刘胜利¹, 谢耀滨¹, 李路凯¹, 卫明远¹

(1. 信息工程大学网络空间安全教育部重点实验室, 河南 郑州 450001; 2. 中国人民解放军 78156 部队, 重庆 400039)

摘要: 针对现有标识环签密方案计算开销随环成员规模线性增长的问题, 提出一种基于国密算法 SM9 的高效环签密方案。该方案通过将涉及环成员的线性运算迁移至有限域, 实现近似常数级的计算开销; 采用新的私钥设计, 签密时将签名与密钥要素封装于单个群元素, 进一步降低了计算开销和通信开销。在随机预言机模型下, 证明了所提方案满足机密性、不可伪造性和完全匿名性。实验表明, 当环规模为 1 024 时, 所提方案环签密和解密验证效率分别是现有方案的 20.79 倍和 87.73 倍, 较最优环签名与加密的组合方案分别提升 16.02% 和 46.86%。

关键词: 环签密; 国密算法; SM9 算法; 基于标识的密码; 常数级开销; 可证安全

中图分类号: TP309.7

文献标志码: A

DOI:10.11959/j.issn.1000-436x.2025244

Ring signcryption scheme based on domestic cryptographic algorithm SM9

XIE Zhenjie^{1,2}, LIU Shengli¹, XIE Yaobin¹, LI Lukai¹, WEI Mingyuan¹

1. Key Laboratory of Cyberspace Security, Ministry of Education, Information Engineering University, Zhengzhou 450001, China

2. Unit 78156 of the Chinese People's Liberation Army, Chongqing 400039, China

Abstract: To address the linear computational increase with ring size in existing identity-based ring signcryption schemes, an efficient ring signcryption scheme based on the Chinese national cryptographic standard SM9 was proposed. Linear operations involving ring members were shifted to finite fields, achieving approximately constant computational cost. By redesigning the private key structure, signature and key components were encapsulated into a single group element during signcryption, further reducing both computational and communication overhead. Under the random oracle model, the proposed scheme was proven to satisfy confidentiality, unforgeability, and perfect anonymity. Experimental results show that for a ring size of 1 024, the signcryption and unsigncryption efficiencies of the proposed scheme are 20.79 and 87.73 times those of existing solutions, representing improvements of 16.02% and 46.86% over the optimal ring-signature-then-encryption combination, respectively.

Keywords: ring signcryption, domestic cryptographic algorithm, SM9 algorithm, identity-based cryptography, constant overhead, provable security

0 引言

现代密码学是网络安全的基石。物联网、云计算、区块链等前沿技术的广泛应用, 离不开加密和数字签名等密码技术的坚实支撑。加密保护数据机

密性, 数字签名则实现身份认证、确保数据完整性并提供不可否认性。传统的系统常需同时应用签名和加密, 但“先签名后加密”的做法会增加计算开销和密文长度, 时空效率有待提升。

收稿日期: 2025-08-05; 修回日期: 2025-12-16

通信作者: 谢耀滨, yb_xie@163.com

基金项目: 装备预先研究基金资助项目(No.30603010601)

Foundation Item: Equipment Pre Research Project (No.30603010601)

为应对这一挑战, Zheng^[1]于 1997 年在美密会上首次提出签密概念。签密融合公钥密码与对称加密, 通过单次运算即可同时完成签名和加密功能, 且仅指定接收方能正确解密并验证签名有效性。相较于传统方式, 签密技术能显著降低计算与通信开销。

然而, 在需要群体匿名性的场景(如电子投票、敏感举报、匿名支付)中, 不提供匿名保护的标准签密技术无法满足需求。Rivest 等^[2]提出了保证签名者身份匿名的环签名技术。环签名允许签名者代表一个任意选定的用户集合(称为“环”)生成签名, 验证者能确认签名来自该环的某个成员, 却无法确定具体身份, 为签名者提供了匿名性保护。

因此, 结合签密效率优势与环签名匿名特性的环签密技术应运而生。Huang 等^[3]首次提出环签密的概念, 并在基于标识的密码(IBC, identity-based cryptography)体制下构造了一个环签密算法。环签密能在一次操作中为指定接收者生成一个来自特定环成员的机密且可验证的消息。它在保障机密性的同时, 完美隐藏了签密者在环中的真实身份, 适用于兼具匿名性和机密性要求的应用场景。

另一方面, 基于公钥基础设施(PKI, public key infrastructure)的方案存在建设和维护代价较高的弊端, 密集的证书请求易形成系统瓶颈。IBC 体制则能规避证书依赖, 直接使用用户唯一标识(如邮箱、手机号)作为公钥, 不仅降低了对第三方证书机构的信任依赖, 也为公钥管理提供了更简洁高效的路径。基于椭圆曲线双线性对的国密算法 SM9 是我国自主设计的 IBC 标准^[4-5], 包含数字签名、密钥交换、密钥封装和加密。相比 RSA 等传统算法, SM9 在相同安全强度下具有密钥短、效率高的优势, 能有效提升系统安全与性能。近年来, 基于 SM9 的密码方案研究蓬勃发展, 涌现出环签名^[6-7]、可搜索加密^[8]、属性签名^[9]、代理重加密^[10]及容错加密^[11]等成果, 彰显了 SM9 优异的性能及其在密码应用领域的拓展潜力。

本文基于国密算法 SM9 设计了一种标识环签密方案, 核心创新在于: 在确保可证安全的前提下, 深度整合环签名与密钥封装的核心步骤, 成功将耗时运算的次数降至常数级。该方案采用与 SM9

数字签名算法一致的系统公共参数设置, 通过重新设计用户私钥, 将密钥信息与环签名要素融合封装于同一群元素, 并将环成员相关的线性运算从原本的耗时运算(椭圆曲线标量乘、群 G_T 上的幂和双线性对)全部迁移至轻量的有限域内完成, 最后在随机预言机模型(ROM, random oracle model)下证明了其机密性、不可伪造性和匿名性。经理论分析与实验评估, 本文方案的计算开销和通信开销均明显优于同类方案及当前性能最优的 SM9 环签名与加密的组合方案。

1 相关工作

自 Zheng^[1]的开创性工作提出签密概念以来, 早期方案多基于 PKI 体制。随着 IBC 兴起, 首个基于标识的签密方案于 2002 年由 Malone-Lee^[12]提出, 但其采用“先加密后签名”结构, 难以满足语义安全要求。后续研究人员提出了更安全高效的改进方案^[13-19], 其更关注特定应用场景(如物联网^[20])和新密码学基础(如格密码^[21]、属性基^[22]、三因素认证^[23])下的签密方案设计。赖建昌等^[24]首次基于国密算法 SM9 设计签密方案, 其计算和通信效率与同期国际标识签密方案相当, 并在 ROM 下证明了机密性和不可伪造性。

自 2005 年环签密概念^[3]提出以来, 环签密研究在多类密码体制下展开。黄欣沂等^[25]提出的标识环签密方案相比先签名后加密实现了密文长度的缩减。Zhu 等^[26]观察到, 标识环签密方案多依赖双线性对, 且运算次数随环成员规模线性增长, 导致显著的计算开销, 其设计的方案将双线性对次数恒定在 4 次, 不随环成员数量增加而变化, 从而在计算效率上较同类方案展现出显著优势。Guo 等^[27]提出了基于属性的环签密方案。Yu 等^[28]则基于格上困难问题构造了无证书的环签密方案。包嘉斌^[29]针对车联网隐私保护需求, 基于 SM9 提出了 2 个标识环签密方案, 该方案在 ROM 下证明了其安全性, 并在计算效率上优于当时的同类方案。Du 等^[30]针对车载自组织网络的条件隐私保护问题, 提出了一种基于 IBC 体制的环签密方案, 该方案改进了 Cai 等^[31]方案的安全性问题并提高了计算效率。罗铭等^[32]为实现车辆到公钥基础设施的跨域通信, 基于无证书密码体制与椭圆曲线密码构造了条件隐私保护的环签密方案, 实现了较低的签密、验证和追

踪成本。总体而言，现有方案仅对签名和加密步骤进行简单合并，在二者深度整合方面仍有优化空间，且当前基于 SM9 的环签密（包括签密）的代表性成果有限。此外，环签密的效率瓶颈往往在于环签名，环签名的最新研究成果对于环签密研究也有重要参考价值。

环签密方案的安全性涉及机密性、不可伪造性和匿名性，其严格证明需坚实的理论基础。分叉引理^[33]及其在环签名^[34]、标识签名^[35]和标识环签名^[36]领域的扩展，为证明方案的不可伪造性提供了核心工具。国密算法 SM9 的安全性已得到严格证明：Cheng^[37]基于 Gap- q -BCAA1 假设证明了 SM9 密钥封装机制在 ROM 下自适应选择密文攻击下的不可区分性（IND-CCA, indistinguishability against adaptive chosen-ciphertext attack）；赖建昌等^[38]基于 q -SDH 和 q -BDHI 假设，分别证明了 SM9 数字签名算法在自适应选择消息和身份攻击下的存在性不可伪造（EUF-CMIA, existential unforgeability under adaptive chosen-message-and-identity attack）和改进的 Twin-SM9 密钥封装机制的 IND-CCA 安全性；Selvi 等^[39]完善了标识环签密的安全模型，系统分析了几个经典方案的安全性。上述成果在理论和实践上为基于 SM9 的环签密构建了可证安全框架。

2 预备知识

本节描述本文的主要符号，以及标识环签密的

困难问题、系统模型和安全模型。

2.1 符号含义

表 1 列出了本文使用的主要符号及含义，未列出的符号在首次出现时说明。

在困难问题实例及安全性证明中，群 G_1, G_2 的生成元需与方案公开参数 P_1, P_2 有所区分，故分别用 P, Q 表示，且满足 $P = \psi(Q)$ 。

2.2 困难问题

所提方案的安全性与以下困难问题相关^[37-38]。

定义 1 q -SDH 问题 (q -strong Diffie-Hellman problem)。令秘密整数 $a \in Z_N^*$ ，给定 $q + 2$ 个元素 $(P, Q, [a]Q, [a^2]Q, \dots, [a^q]Q) \in G_1 \times G_2^{q+1}$ ，计算任意一组 $(c, [\frac{1}{c+a}]P)$ ，其中 $c \in Z_N$ 。

定义 2 DBIDH 问题 (decision bilinear inversion Diffie-Hellman problem)。令秘密整数 $a, b, r \in Z_N^*$ ，区分 $(P_1, P_2, [a]P_i, [b]P_j, e(P_1, P_2)^{\frac{b}{a}})$ 和 $(P_1, P_2, [a]P_i, [b]P_j, e(P_1, P_2)^r)$ ，其中 $i, j \in \{1, 2\}$ 。

定义 3 q -BDHI 问题 (q -bilinear Diffie-Hellman inversion problem)。令秘密整数 $a \in Z_N^*$ ，给定 $q + 2$ 个元素 $(P, Q, [a]Q, [a^2]Q, \dots, [a^q]Q) \in G_1 \times G_2^{q+1}$ ，计算 $e(P, Q)^{\frac{1}{a}}$ 。

定义 4 Gap- q -BDHI 问题。令秘密整数 $a \in Z_N^*$ ，给定 $q + 2$ 个元素 $(P, Q, [a]Q, [a^2]Q, \dots, [a^q]Q) \in G_1 \times G_2^{q+1}$ 和 DBIDH 确定算法，计算 $e(P, Q)^{\frac{1}{a}}$ 。

表 1 主要符号及含义

符号	含义	符号	含义
G_1, G_2	椭圆曲线加法循环群	λ	安全参数
G_T	乘法循环群	params	系统公开参数
N	大素数，群 G_1, G_2, G_T 的阶	msk	主私钥
P_1, P_2	群 G_1, G_2 的生成元	ID	用户身份标识
Z_N^*	$[1, N - 1]$ 范围内整数构成的群	sk	用户私钥
Z_N	$[0, N - 1]$ 范围内整数构成的群	M	原始消息
ψ	同态映射： $G_2 \rightarrow G_1$	U	环成员集合 $\{ID_1, ID_2, \dots, ID_n\}$
e	双线性对： $G_1 \times G_2 \rightarrow G_T$	SC	环签密消息
H_1, H_2	哈希函数： $\{0, 1\}^* \rightarrow Z_N^*$	klen	密钥的比特位数
$[k]P$	椭圆曲线点 P 的 k 倍（标量乘）	KDF	密钥派生函数： $\{0, 1\}^* \rightarrow \{0, 1\}^{klen}$
$x \parallel y$	x 与 y 的字节串拼接	$Enc_K(M)$	以密钥 K 对消息 M 执行对称加密
$x \in_R X$	从 X （集合、群等）中随机选择元素 x	$Dec_K(C)$	以密钥 K 对密文 C 执行对称解密

如果上述各问题在多项式时间内的求解概率可忽略, 则其困难假设成立。上述问题的困难性可规约到 G_1, G_2, G_T 上离散对数问题的困难性, 它们是基于双线性对的 IBC 体制安全性的基石。

2.3 系统模型

标识环签密方案一般包含 4 项算法^[3], 模型描述如表 2 所示。其中, KGC 表示密钥生成中心,

$$\Pr \left[\begin{array}{l} \text{Unsigncrypt}(\mathbf{params}, \mathbf{SC}, U, \mathbf{sk}_R) \rightarrow M \\ \text{Setup}(\lambda) \rightarrow (\mathbf{params}, \mathbf{msk}) \\ \text{KeyGen}(\mathbf{params}, \text{ID}_\pi, \mathbf{msk}) \rightarrow \mathbf{sk}_\pi \\ \text{KeyGen}(\mathbf{params}, \text{ID}_R, \mathbf{msk}) \rightarrow \mathbf{sk}_R \\ \text{RingSigncrypt}(\mathbf{params}, M, U, \text{ID}_R, \mathbf{sk}_\pi) \rightarrow \mathbf{SC} \end{array} \right] = 1$$

2.4 安全模型

标识环签密必须同时具备公钥加密和环签名的安全特性^[39]: 机密性, 由 IND-CCA 定义; 不可伪造性, 由 EUF-CMIA 定义; 匿名性。具体介绍如下。

定义 5 IND-CCA。该性质由挑战者 D 与 PPT 敌手 A 的交互游戏定义。

1) 初始化。 D 生成 $(\mathbf{params}, \mathbf{msk})$ 并公开 \mathbf{params} 。

2) 询问 1。 A 按需向 D 查询给定输入的私钥、环签密或解密验证结果。

3) 挑战。 A 向 D 提供 2 个等长的消息 (M_0^*, M_1^*) 、挑战用户集合 U^* 和接收者标识 ID_R^* , 要求 A 从未询问过 ID_R^* 的私钥。 D 选择 $b \in_R \{0, 1\}$ 和签密者 $\text{ID}_\pi^* \in_R U^*$, 生成 $(M_b^*, U^*, \text{ID}_R^*)$ 的环签密消息 \mathbf{SC}^* 并发送至 A 。

4) 询问 2。同询问 1, 但要求 A 不能询问 ID_R^* 的私钥, 也不能对 \mathbf{SC}^* 发起解密验证询问。

5) 猜测。 A 输出 $b' \in \{0, 1\}$, 若 $b' = b$, 则 A 获胜。

令 $\text{negl}(\lambda)$ 为可忽略函数 (输出随 λ 扩大而迅速趋于零), 若 A 获胜的优势为 $\text{Adv}_A^{\text{IND-CCA}} = \Pr[b' = b] - \frac{1}{2} \leq \text{negl}(\lambda)$, 则该标识环签密方案满足 IND-CCA 安全性。

PPT 表示概率多项式时间; 签密者标识为 $\text{ID}_\pi \in U$ (私钥为 \mathbf{sk}_π), 接收者标识为 ID_R (私钥为 \mathbf{sk}_R); Unsigncrypt 算法验证通过时输出原始消息, 解密失败或验证不通过时输出 \perp 。

正确的标识环签密方案应满足: 合法的环签密消息一定通过验证 (即对于 $\text{ID}_\pi \in U$, 式(1)成立), 非法消息的通过概率可忽略。

定义 6 EUF-CMIA。与定义 5 的交互游戏类似且步骤 1) 和步骤 2) 相同, 区别如下。

3) 伪造。 A 输出挑战用户集合 U^* 、接收者标识 ID_R^* 和环签密消息 \mathbf{SC}^* (U^* 中标识对应的私钥及 $(M^*, U^*, \text{ID}_R^*)$ 的环签密均未被询问)。若 \mathbf{SC}^* 解密得出 M^* 并通过验证, 则 A 获胜。

令接收者私钥为 \mathbf{sk}_R^* , 若 A 获胜的优势为 $\text{Adv}_A^{\text{EUF}} = \Pr[\text{Unsigncrypt}(\mathbf{params}, \mathbf{SC}^*, U^*, \mathbf{sk}_R^*) \rightarrow M^*] \leq \text{negl}(\lambda)$, 则该标识环签密方案满足 EUF-CMIA 安全性。

定义 7 匿名性。与定义 5 的交互游戏类似且步骤 1)、步骤 2) 和步骤 5) 相同, 区别如下。

3) 挑战。 A 向 D 提供消息 M^* 、挑战用户集合 U^* 、接收者标识 ID_R^* 和 2 个标识 $\text{ID}_\pi^*, \text{ID}_2^* \in U^*$ 。 D 选择 $b \in_R \{0, 1\}$, 用 ID_b^* 的私钥生成 $(M^*, U^*, \text{ID}_R^*)$ 的环签密消息 \mathbf{SC}^* 并发送至 A 。

4) 询问 2。同询问 1。

若 A 获胜的优势为 $\text{Adv}_A^{\text{ANON}} = \Pr[b' = b] - \frac{1}{2} \leq \text{negl}(\lambda)$, 则该标识环签密方案满足匿名性。

3 方案构造

本节描述基于 SM9 的环签密方案的各项算法。

表 2 标识环签密系统模型

算法名称	中文含义	执行者	算法性质	输入	输出
Setup	系统建立	KGC	PPT 算法	λ	$\mathbf{params}, \mathbf{msk}$
KeyGen	用户私钥生成	KGC	确定性算法	$\mathbf{params}, \text{ID}, \mathbf{msk}$	\mathbf{sk}
RingSigncrypt	环签密	签密者	PPT 算法	$\mathbf{params}, M, U, \text{ID}_R, \mathbf{sk}_\pi$	\mathbf{SC}
Unsigncrypt	解密验证	接收者	确定性算法	$\mathbf{params}, \mathbf{SC}, U, \mathbf{sk}_R$	M/\perp

3.1 Setup

KGC 选定一个 1 B 大小的私钥生成函数识别符 hid, 生成主私钥 $ks \in {}_R Z_N^*$, 计算主公钥 $P_{pub-s} = [ks]P_2 \in G_2$, 公开 P_{pub-s} 和 hid。为简化表述, 后文以 $H_1(ID)$ 指代 $H_1(ID||hid, N)$ 。

3.2 KeyGen

设用户标识为 ID, KGC 计算 $v = H_1(ID) \in Z_N^*$, 签名私钥 $ds = \left[\frac{ks}{v+ks} \right] P_1 \in G_1$ 和解密私钥 $de = \left[\frac{ks^2}{v+ks} \right] P_2 \in G_2$, 以秘密渠道向用户发送私钥元组 $sk = (ds, de)$ 。若 $v+ks=0$, 则主密钥 (ks, P_{pub-s}) 和全部用户的私钥均需更换。

3.3 RingSigncrypt

令签密者标识为 $ID_\pi \in U$ (U 中包含 n 个成员, $\pi \in \{1, 2, \dots, n\}$), 接收者标识为 ID_R 。签密者 (签名私钥为 ds_π) 预先计算 $g_0 = e(P_1, P_{pub-s}) \in G_T$, $g_1 = e(ds_\pi, P_2) \in G_T$, $g_2 = e(ds_\pi, P_{pub-s}) \in G_T$, 环签密计算步骤如下。

$$1) r, r_0 \in {}_R Z_N^*, \omega = g_0^{r r_0} \in G_T$$

$$2) v_i = H_1(ID_i) \in Z_N^*, i = 1, 2, \dots, n$$

$$3) r_1, r_2, \dots, r_{\pi-1}, r_{\pi+1}, \dots, r_n, \rho \in {}_R Z_N^*, \beta =$$

$$\left(g_1^{r \sum_{i=1, i \neq \pi}^n r_i v_i} \cdot g_2^{r \sum_{i=1, i \neq \pi}^n r_i} \cdot g_0^{\rho} \right)^{-1} \in G_T$$

$$4) h = H_2(U||M||\omega||\beta) \in Z_N^*$$

$$5) r_\pi = \frac{r r_0 - h}{r} + \rho \in Z_N^*, \text{ 若 } r_\pi = 0, \text{ 则返回}$$

步骤 1)。

$$6) v_R = H_1(ID_R) \in Z_N^*, S = \left[r \left(1 - \frac{v_R}{v_\pi} \right) \right] ds_\pi +$$

$$\omega' = e(S', T) \cdot g_0^{h'} \cdot \beta' = e \left(\left[r \left(1 - \frac{v_R}{v_\pi} \right) \right] ds_\pi + \left[r \frac{v_R}{v_\pi} \right] P_1, \left[\sum_{i=1}^n r_i - \frac{\sum_{i=1}^n r_i v_i}{v_R} \right] de_R + \left[\frac{\sum_{i=1}^n r_i v_i}{v_R} \right] P_{pub-s} \right) \cdot g_0^h \cdot \beta =$$

$$e \left(\left[r \frac{(v_\pi - v_R)ks}{v_\pi(v_\pi + ks)} + r \frac{v_R(v_\pi + ks)}{v_\pi(v_\pi + ks)} \right] P_1, \left[\frac{(v_R \sum_{i=1}^n r_i - \sum_{i=1}^n r_i v_i)ks^2}{v_R(v_R + ks)} + \frac{\sum_{i=1}^n r_i v_i (v_R + ks)ks}{v_R(v_R + ks)} \right] P_2 \right) \cdot g_0^h \cdot \beta =$$

$$e \left(\left[r \frac{v_R + ks}{v_\pi + ks} \right] P_1, \left[\frac{(ks \sum_{i=1}^n r_i + \sum_{i=1}^n r_i v_i)ks}{v_R + ks} \right] P_2 \right) \cdot g_0^h \cdot \left(g_1^{r \sum_{i=1, i \neq \pi}^n r_i v_i} \cdot g_2^{r \sum_{i=1, i \neq \pi}^n r_i} \cdot g_0^{\rho} \right)^{-1} =$$

$$\left[r \frac{v_R}{v_\pi} \right] P_1 \in G_1$$

$$7) K = \text{KDF}(r_1 \| r_2 \| \dots \| r_n \| \omega \| ID_R)$$

$$8) C = \text{Enc}_K(M)$$

$$9) \text{输出环签密消息 } SC = (C, h, S, \beta, r_1, r_2, \dots, r_n)$$

3.4 Unsigncrypt

接收者 (标识为 ID_R , 解密私钥为 de_R) 预先计算 $g_0 = e(P_1, P_{pub-s}) \in G_T$, 收到 $U' = \{ID'_1, ID'_2, \dots, ID'_n\}$ 的环签密消息 $SC' = (C', h', S', \beta', r'_1, r'_2, \dots, r'_n)$ 后, 计算步骤如下。

1) 检查 $h', r'_1, r'_2, \dots, r'_n \in Z_N^*$, $S' \in G_1$ 和 $\beta' \in G_T$, 若任何一项不符合, 则中止并输出 \perp 。

$$2) v_i = H_1(ID'_i) \in Z_N^*, i = 1, 2, \dots, n$$

$$3) T = \left[\sum_{i=1}^n r'_i - \frac{\sum_{i=1}^n r'_i v_i}{v_R} \right] de_R + \left[\frac{\sum_{i=1}^n r'_i v_i}{v_R} \right] P_{pub-s} \in G_T$$

$$4) \omega' = e(S', T) \cdot g_0^{h'} \cdot \beta' \in G_T$$

$$5) K' = \text{KDF}(r'_1 \| r'_2 \| \dots \| r'_n \| \omega' \| ID_R)$$

$$6) M' = \text{Dec}_{K'}(C')$$

$$7) h'' = H_2(U' || M' || \omega' || \beta') \in Z_N^*$$

8) 检验 $h'' = h'$ 是否成立, 若成立, 则验证通过并输出 M' , 否则输出 \perp 。

4 方案性质推导与证明

本节通过理论推导和安全规约, 证明方案的正确性、机密性、不可伪造性和匿名性。

4.1 正确性

若各方正确运行算法, 且 $U = U'$, $SC = SC'$, 则 ω 推导过程为

$$e(ds_{\pi}, [r(ks \sum_{i=1}^n r_i + \sum_{i=1}^n r_i v_i)] P_2) \cdot e(ds_{\pi}, [r \sum_{i=1, i \neq \pi}^n r_i v_i] P_2)^{-1} \cdot e(ds_{\pi}, [r \sum_{i=1, i \neq \pi}^n r_i \cdot ks] P_2)^{-1} \cdot g_0^{h-rp} =$$

$$e(ds_{\pi}, [rr_{\pi}(v_{\pi} + ks)] P_2) \cdot g_0^{h-rp} = e\left([ks] P_1, \left[r \left(\frac{rr_0 - h}{r} + \rho\right)\right] P_2\right) \cdot g_0^{h-rp} = g_0^{rr_0 - h + rp + h - rp} = g_0^{rr_0} = \omega$$

故 $K = K'$, $M = M'$, $h'' = h = h'$ 。本文方案的正确性得证。

4.2 机密性

通过安全规约证明本文方案符合 IND-CCA 安全性。为避免考虑对称密码算法的安全性, 令加解密采用模 2 加法, 即 $C = M \oplus K$, 此假设不影响证明的有效性, 也简化了证明流程。此外, 约定签密者和接收者的标识不相同。

定理 1 若 H_1, H_2, KDF 是随机预言机 (RO, random oracle), 且 Gap- q -BDHI 问题是困难的, 则本文方案在 IND-CCA 模型下是安全的。

证明 假设 IND-CCA 模型中的 PPT 敌手 A 获胜的优势 ε 不可忽略, 则可构建模拟器 B 求解 Gap- q -BDHI 问题。 B 掌握可解决 DBIDH 问题的预言机 O_{DBIDH} , 接收 q -BDHI 问题实例 $(P, Q, [a]Q, [a^2]Q, \dots, [a^q]Q)$ 后, 与 A 的交互如下。

初始化。 B 生成 $q - 1$ 个两两互异的整数 $w^*, w_1, w_2, \dots, w_{q-2} \in_{\mathbb{R}} Z_N^*$, 令多项式 $f(x) = \prod_{i=1}^{q-2} (w_i + x - w^*)$, 由问题实例和 $f(x)$ 计算 $P_1 = [f(a)]P$, $P_2 = [f(a)]Q$, $P_{\text{pub-s}} = [(a - w^*)f(a)]Q$ ($ks = a - w^*$ 隐式存在; 计算 P_1 时, 有 $[a^i]P = \psi([a^i]Q)$, $i = 0, 1, \dots, q$), 生成 $i^* \in_{\mathbb{R}} \{1, 2, \dots, q - 2\}$, 建立 3 个记录哈希询问的列表 L_1, L_2, L_3 。

哈希询问。 H_1, H_2, KDF 是 B 掌握的 RO, 令非重复询问数分别为 $q_{H_1}, q_{H_2}, q_{\text{KDF}}$, 且 $q_{H_1} = q - 2$ 。 A (或 B 自身) 随时可发起询问, 若 L_1, L_2, L_3 存在询问记录, 则直接答复; 否则, B 处理如下。

1) H_1 询问。设第 i 次询问的输入为 ID_i , 答复 $H_1(\text{ID}_i) = \begin{cases} w^*, i = i^* \\ w_i, i \neq i^* \end{cases}$, 将 $(i, \text{ID}_i, H_1(\text{ID}_i))$ 记录至 L_1 。

2) H_2 询问。设第 j 次询问的输入为 U_j, M_j 以及 $\omega_j, \beta_j \in G_T$, 生成 $h_j \in_{\mathbb{R}} Z_N^*$, 答复 $H_2(U_j \| M_j \| \omega_j \| \beta_j) = h_j$, 将 $(j, U_j, M_j, \omega_j, \beta_j, h_j)$ 记录至 L_2 。

3) KDF 询问。设第 k 次询问的输入为整数序列 $Z_k = (r_{1,k}, r_{2,k}, \dots, r_{n,k})$, $\omega_k \in G_T$ 和 $\text{ID}_{R,k}$, 生成 $K_k \in_{\mathbb{R}} \{0, 1\}^{\text{klen}}$, 答复 $\text{KDF}(Z_k \| \omega_k \| \text{ID}_{R,k}) = K_k$, 将 $(k, Z_k, \omega_k, \text{ID}_{R,k}, K_k)$ 记录至 L_3 。

询问 1。 该阶段 A 可按需向 B 进行以下询问。

1) 私钥询问。设输入为 ID_i , B 查找 L_1 记录 $(i, \text{ID}_i, H_1(\text{ID}_i))$ (若无, 先进行 H_1 询问)。若 $i = i^*$, 则中止; 否则, B 令多项式 $f_i(x) = (x - w^*) \prod_{j=1, j \neq i}^{q-2} (w_j + x - w^*)$, 由问题实例和 $f_i(x)$ 计算

$$ds_i = [f_i(a)]P = \left[\frac{(a - w^*)f(a)}{w_i + a - w^*} \right]P =$$

$$\left[\frac{ks}{H_1(\text{ID}_i) + ks} \right]P_1$$

$$de_i = [(a - w^*)f_i(a)]Q = \left[\frac{(a - w^*)^2 f(a)}{w_i + a - w^*} \right]Q =$$

$$\left[\frac{ks^2}{H_1(\text{ID}_i) + ks} \right]P_2$$

然后返回私钥 $\mathbf{sk}_i = (ds_i, de_i)$ 。

2) 环签密询问。设输入为 M, U, ID_R , B 选择 $\text{ID}_{\pi} \in_{\mathbb{R}} U$ ($\pi \neq i^*$), 利用其签名私钥 ds_{π} 计算环签密消息 \mathbf{SC} 并返回。

3) 解密验证询问。设输入为 $U = \{\text{ID}_{l_1}, \text{ID}_{l_2}, \dots, \text{ID}_{l_n}\}$, $\text{ID}_R, \mathbf{SC} = (C, h, S, \beta, r_1, r_2, \dots, r_n)$, 若 $\text{ID}_R \neq \text{ID}_{i^*}$, B 可利用解密私钥 de_R 执行解密验证; 否则, B 执行以下步骤。

① 遍历列表 L_1 , 若 U 中任意元素或 ID_R 未在 L_1 中出现过, 则返回 \perp 并结束, 否则执行步骤②。

② 遍历列表 L_2 , 令满足 $U_j = U, \beta_j = \beta, h_j = h$ 的记录 $(j, U_j, M_j, \omega_j, \beta_j, h_j)$ 构成集合 V , 执行步骤③。

③ 若 $V = \emptyset$, 则返回 \perp 并结束, 否则随机移除 V 中一条记录 $(j, U, M_j, \omega_j, \beta, h)$ 并对其执行步骤④。

④ 计算 $K_j = C \oplus M_j$, 遍历列表 L_3 查找 $(r_1, r_2, \dots, r_n, \omega_j, \text{ID}_R, K_j)$, 若找到该记录, 则执行步骤⑤, 否则返回步骤③。

⑤ 向 O_{DBIDH} 询问 $(P_1, [((a - w^*) \sum_{i=1}^n r_i + \sum_{i=1}^n r_i w_{l_i}) (a - w^*) f(a)]Q, [a \cdot f(a)]P, S, \omega_j \cdot g_0^{-h} \cdot \beta^{-1})$, 若 O_{DBIDH} 返回 1, 则向 A 返回 M_j 作为解

密结果并结束, 否则返回步骤③。

预言机 O_{DBIDH} 可解决定义 2 描述的 $i=j=1$ 时的 DBIDH 问题, 即询问形如 $(P_1, P_2, [a]P_1, [b]P_1, y) \in G_1 \times G_2 \times G_1^2 \times G_T$ 的 5 元组, 若 $y = e(P_1, P_2)^{\frac{b}{a}}$, 则返回 1, 否则返回 0。

若 A 伪造了能通过解密验证的 SC , 必定成功求解了 U 中某标识 ID_{l_π} 对应的签名私钥 ds_{l_π} ($\pi \in \{1, 2, \dots, n\}$), 并正确发起 H_1, H_2, KDF 询问。因为 $H_1(\text{ID}_R) = w^*$, $H_1(\text{ID}_R) + \text{ks} = w^* + a - w^* = a$, 又因为 $H_1(\text{ID}_{l_i}) = w_{l_i}$ ($i = 1, 2, \dots, n$), $\omega_j = g_0^{r_0}$, 则 O_{DBIDH} 询问中元素的推导过程为

$$\begin{aligned} & [a \cdot f(a)] P = [a] P_1 \\ S &= \left[r \left(1 - \frac{H_1(\text{ID}_R)}{H_1(\text{ID}_{l_\pi})} \right) \right] \text{ds}_{l_\pi} + \left[r \frac{H_1(\text{ID}_R)}{H_1(\text{ID}_{l_\pi})} \right] P_1 = \\ & \left[r \frac{H_1(\text{ID}_R) + \text{ks}}{H_1(\text{ID}_{l_\pi}) + \text{ks}} \right] P_1 = \left[\frac{r \cdot a}{w_{l_\pi} + a - w^*} \right] P_1 \\ & e \left(\left[\frac{r \cdot a}{(w_{l_\pi} + a - w^*) a} \right] P_1, \right. \\ & \left. \left[\left((a - w^*) \sum_{i=1}^n r_i + \sum_{i=1}^n r_i w_{l_i} \right) (a - w^*) f(a) \right] Q \right) = \\ & e \left(\left[\frac{r}{H_1(\text{ID}_{l_\pi}) + \text{ks}} \right] P_1, \right. \\ & \left. \left[\left(\text{ks} \sum_{i=1}^n r_i + \sum_{i=1}^n r_i H_1(\text{ID}_{l_i}) \right) \text{ks} \right] P_2 \right) = \\ & e(\text{ds}_{l_\pi}, [r(\text{ks} \sum_{i=1, i \neq \pi}^n r_i + \sum_{i=1, i \neq \pi}^n r_i H_1(\text{ID}_{l_i}))] P_2 + \\ & [r r_\pi (H_1(\text{ID}_{l_\pi}) + \text{ks})] P_2) = \\ & g_1^{r \sum_{i=1, i \neq \pi}^n r_i H_1(\text{ID}_{l_i})} \cdot g_2^{r \sum_{i=1, i \neq \pi}^n r_i} \cdot g_0^{r r_0 - h + r p} = \\ & \omega_j \cdot g_0^{-h} \cdot \beta^{-1} \end{aligned}$$

当且仅当 SC 可正确解密时, O_{DBIDH} 返回 1。因此, 即使 B 不掌握接收者 ID_i^* 的私钥, 也可利用 L_1, L_2, L_3 的记录和 O_{DBIDH} 来模拟解密验证。

挑战。 A 输出挑战用户集合 $U^* = \{\text{ID}_1^*, \text{ID}_2^*, \dots, \text{ID}_n^*\}$ ($n < q - 2$)、接收者标识 ID_R^* 和 2 个等

长的消息 (M_0^*, M_1^*) , 且 A 从未询问过 ID_R^* 的私钥。若 $\text{ID}_R^* \neq \text{ID}_{i^*}$, 则中止; 否则, 有 $H_1(\text{ID}_R^*) = w^*$ 。记 $H_1(\text{ID}_{i^*}) = w_{i^*} \in \{w_1, w_2, \dots, w_{q-2}\}$, $i = 1, 2, \dots, n$ 。 B 选择 $\text{ID}_\pi^* \in_R U^*$, $\pi \in \{1, 2, \dots, n\}$, 生成与 M_0^*/M_1^* 等长的随机比特串 $R, r', h^*, r_1^*, r_2^*, \dots, r_n^* \in_R Z_N^*$, $\beta^* \in_R G_T$,

计算 $S^* = \left[\frac{r' \cdot f(a)}{w_\pi^* + a - w^*} \right] P$, 将模拟的环签密消息

$\text{SC}^* = (R, h^*, S^*, \beta^*, r_1^*, r_2^*, \dots, r_n^*)$ 返回给 A 。

S^* 可视为以随机数 $r^* = \frac{r'}{a}$ 模拟生成, 这是因为

$$\begin{aligned} S^* &= \left[r^* \left(1 - \frac{H_1(\text{ID}_R^*)}{H_1(\text{ID}_\pi^*)} \right) \right] \text{ds}_\pi^* + \left[r^* \frac{H_1(\text{ID}_R^*)}{H_1(\text{ID}_\pi^*)} \right] P_1 = \\ & \left[r^* \frac{H_1(\text{ID}_R^*) + \text{ks}}{H_1(\text{ID}_\pi^*) + \text{ks}} \right] P_1 = \\ & \left[\frac{r^* \cdot a}{w_\pi^* + a - w^*} \right] P_1 = \left[\frac{r' \cdot f(a)}{w_\pi^* + a - w^*} \right] P \end{aligned}$$

所以, A 在解密出原始消息 (Unsigncrypt 步骤 6) 前, 无法区分 SC^* 是否为模拟的。

询问 2。 同询问 1, 但要求 A 不能询问 ID_R^* 的私钥, 也不能对 SC^* 发起解密验证询问。

猜测。 A 输出猜测结果 $b' \in \{0, 1\}$ 。

B 忽略 A 的猜测。若 A 成功求解 ID_R^* 对应的解密私钥 de_R^* , 那么在解密过程中, 有

$$\begin{aligned} T^* &= \left[\sum_{i=1}^n r_i^* - \frac{\sum_{i=1}^n r_i^* H_1(\text{ID}_i^*)}{H_1(\text{ID}_R^*)} \right] \text{de}_R^* + \\ & \left[\frac{\sum_{i=1}^n r_i^* H_1(\text{ID}_i^*)}{H_1(\text{ID}_R^*)} \right] P_{\text{pub-s}} = \\ & \left[\frac{(\text{ks} \sum_{i=1}^n r_i^* + \sum_{i=1}^n r_i^* H_1(\text{ID}_i^*)) \text{ks}}{H_1(\text{ID}_R^*) + \text{ks}} \right] P_2 = \\ & \left[\frac{((a - w^*) \sum_{i=1}^n r_i^* + \sum_{i=1}^n r_i^* w_{i^*}) (a - w^*) f(a)}{a} \right] Q \end{aligned}$$

令

$$\frac{r'((x-w^*) \sum_{i=1}^n r_i^* + \sum_{i=1}^n r_i^* w_i^*)(x-w^*)f^2(x)}{x(w_\pi^* + x - w^*)} =$$

$$F_1(x)x^{q-2} + F_2(x) + \frac{d}{x}$$

其中, $w_\pi^* + x - w^*$ 是 $f(x)$ 的因子; 多项式 $F_1(x)$ 和 $F_2(x)$ 的次数均为 $q-2$, 系数及非零整数 d 均由所选参数计算。则有

$$\omega^* = e(S^*, T^*) \cdot g_0^{h^*} \cdot \beta^* =$$

$$e \left(P, \left[\frac{r'((a-w^*) \sum_{i=1}^n r_i^* + \sum_{i=1}^n r_i^* w_i^*)(a-w^*)f^2(a)}{a(w_\pi^* + a - w^*)} \right] Q \right) \cdot g_0^{h^*} \cdot \beta^* = e$$

$$e \left(P, \left[F_1(a)a^{q-2} + F_2(a) + \frac{d}{a} \right] Q \right) \cdot g_0^{h^*} \cdot \beta^*$$

L_3 中必有记录包含 ω^* , B 计算

$$\left(\frac{\omega^*}{e([a^{q-2}]P, [F_1(a)]Q) \cdot e(P, [F_2(a)]Q) \cdot g_0^{h^*} \cdot \beta^*} \right)^{\frac{1}{d}} =$$

$$\left(\frac{e \left(P, \left[F_1(a)a^{q-2} + F_2(a) + \frac{d}{a} \right] Q \right) \cdot g_0^{h^*} \cdot \beta^*}{e(P, [F_1(a)a^{q-2} + F_2(a)]Q) \cdot g_0^{h^*} \cdot \beta^*} \right)^{\frac{1}{d}} =$$

$$e \left(P, \left[\frac{d}{a} \right] Q \right)^{\frac{1}{d}} = e(P, Q)^{\frac{1}{a}}$$

并将其作为 Gap- q -BDHI 问题实例的解。

以下是对 B 成功模拟的概率和破解 Gap- q -BDHI 问题优势的分析。首先, 只有当 A 挑战的接收者标识恰好为 ID_i^* 时, B 才能成功模拟, 此概率

为 $\frac{1}{q_{H_1}}$ 。其次, 在成功模拟的基础上, 根据假设, A 能以不可忽略的优势 ε 区分所选消息的密文, 则 A 将以 ε 概率向 KDF 发起包含 ω^* 的挑战询问。令 $(k, r_1^*, r_2^*, \dots, r_n^*, \omega_k, ID_R^*, K_k)$ 为 L_3 中可能包含 ω^* 的记录, 逐一向 O_{DBIDH} 询问 $(P_1, [((a-w^*) \sum_{i=1}^n r_i^* +$

$\sum_{i=1}^n r_i^* w_i^*)(a-w^*)f(a)]Q, [a \cdot f(a)]P, S^*, \omega_k \cdot$

$(g_0^{h^*} \cdot \beta^*)^{-1}$), 当 O_{DBIDH} 返回 1 时有 $\omega_k = \omega^*$ (推导过

程同解密验证询问), 即只要 L_3 中包含挑战询问, B 可在 O_{DBIDH} 的帮助下找到 ω^* 。因此, 若假设成立, 则 B 解决 Gap- q -BDHI 问题的优势为 $\frac{\varepsilon}{q_{H_1}}$ 。由于 q_{H_1}

是有界常数, 此优势仍不可忽略, 与 Gap- q -BDHI 假设相矛盾, 故本文方案在 IND-CCA 模型下是安全的。证毕。

4.3 不可伪造性

通过安全规约证明本文方案符合 EUF-CMIA 安全性。

定理 2 若 H_1, H_2, KDF 是 RO, 且 q -SDH 问题是困难的, 则本文方案在 EUF-CMIA 模型下是安全的。

证明 假设 EUF-CMIA 模型中的 PPT 敌手 A 获胜的优势 ε 不可忽略, 则可构建模拟器 B 求解 q -SDH 问题。 B 接收 q -SDH 问题实例 $(P, Q, [a]Q, [a^2]Q, \dots, [a^q]Q)$ 后, 与 A 的交互如下。

1) 初始化。除 $f(x) = \prod_{i=1}^{q-2} (w_i + x)$, $P_{\text{pub-s}} = [af(a)]Q$, $\text{ks} = a$, 其余与 4.2 节相同。

2) 哈希询问。与 4.2 节相同。

3) 询问。该阶段 A 可按需向 B 进行以下询问。

① 私钥询问。除 $f_i(x) = x \prod_{j=1, j \neq i}^{q-2} (w_j + x)$, $\text{ds}_i =$

$$[f_i(a)]P = \left[\frac{a \cdot f(a)}{w_i + a} \right]P = \left[\frac{\text{ks}}{H_1(\text{ID}_i) + \text{ks}} \right]P_1, \text{de}_i =$$

$$[a \cdot f_i(a)]Q = \left[\frac{a^2 \cdot f(a)}{w_i + a} \right], \text{其余与 4.2 节相同。}$$

② 环签密询问。与 4.2 节相同。

③ 解密验证询问。与 4.2 节相同。

4) 伪造。 A 输出挑战用户集合 $U^* = \{ID_1^*, ID_2^*, \dots, ID_n^*\}$ 、接收者标识 ID_R^* 和环签密消息 SC^* (U^* 中标识对应的私钥及 (M^*, U^*, ID_R^*) 的环签密均未被询问)。若 $ID_i^* \notin U^*$, 则中止; 否则, 根据分叉引理, 若 A 在未持有 U^* 中任一用户私钥时伪造了有效的 SC^* , 则 B 可构造图灵机 A' , 在 A 的帮助下以同一输入 (M^*, U^*, ID_R^*) 获取 2 个有效的环签密消息 $\text{SC}_1^* = (C_1^*, h_1^*, S^*, \beta^*, r_1^*, \dots, r_{\pi-1}^*, r_{\pi,1}^*, r_{\pi+1}^*, \dots, r_n^*)$ 和 $\text{SC}_2^* = (C_2^*, h_2^*, S^*, \beta^*, r_1^*, \dots, r_{\pi-1}^*, r_{\pi,2}^*, r_{\pi+1}^*, \dots, r_n^*)$, 满足 $h_1^* \neq h_2^*, r_{\pi,1}^* \neq r_{\pi,2}^*, \pi \in \{1, 2, \dots, n\}$ 。若 $ID_\pi^* \neq ID_i^*$, 则

中止；否则，令 $H_1(\text{ID}_R^*) = w_R^*$, $\frac{(w_R^* + x)f(x)}{w^* + x}$

$F(x) + \frac{d}{w^* + x}$, 多项式 $F(x)$ 的系数和非零整数

d 可由 w^* , w_R^* 和 $f(x)$ 计算。B 计算 $W^* =$

$\left[\frac{1}{d} \right] \left(\left[\frac{r_{\pi_1}^* - r_{\pi_2}^*}{h_2^* - h_1^*} \right] S^* - [F(a)] P \right)$, 输出 (w^*, W^*) 作为 q -SDH 问题实例的解。

由于 $r_{\pi_1}^* = \frac{r^* r_0^* - h_1^*}{r^*} + \rho$, $r_{\pi_2}^* = \frac{r^* r_0^* - h_2^*}{r^*} +$

ρ , $H_1(\text{ID}_\pi^*) = w^*$, $S^* = \left[r^* \frac{H_1(\text{ID}_R^*) + ks}{H_1(\text{ID}_\pi^*) + ks} \right] P_1 =$

$\left[\frac{r^*(w_R^* + a)f(a)}{w^* + a} \right] P$, 则有

$$W^* = \left[\frac{1}{d} \right] \left(\left[\frac{r_{\pi_1}^* - r_{\pi_2}^*}{h_2^* - h_1^*} \right] S^* - [F(a)] P \right) =$$

$$\left[\frac{1}{d} \left(\frac{(r^* r_0^* - h_1^*) - (r^* r_0^* - h_2^*)}{r^*(h_2^* - h_1^*)} \right) \right] P =$$

$$\left[\frac{r^*(w_R^* + a)f(a) - F(a)}{w^* + a} \right] P =$$

$$\left[\frac{1}{d} \left(\frac{(w_R^* + a)f(a) - F(a)}{w^* + a} \right) \right] P =$$

$$\left[\frac{1}{d} \left(F(a) + \frac{d}{w^* + a} - F(a) \right) \right] P = \left[\frac{1}{w^* + a} \right] P$$

因此 (w^*, W^*) 是有效的解。

只有当 B 成功模拟、A 选定的签密者标识恰好为 ID_i^* (概率为 $\frac{1}{q_{H_1}}$), 且 A 伪造的环签密有效 (优势为 ε) 时, B 才能成功求解 q -SDH 问题。由于其概率 $\frac{\varepsilon}{q_{H_1}}$ 不可忽略, 与 q -SDH 假设相矛盾, 因此本文方案在 EUF-CMIA 模型下是安全的。证毕。

4.4 匿名性

本文方案实现了完全匿名性, 即使敌手计算能力无限, 甚至掌握系统主私钥, 也无法识别实际签密者。

定理 3 如果环签密所用的随机数源满足均匀分布, 则本文方案满足匿名性。

证明 设 $\text{SC} = (C, h, S, \beta, r_1, r_2, \dots, r_n)$ 由 U 中用户生成, 若签密者标识为 ID_{π_1} ($\pi_1 \in \{1, 2, \dots, n\}$), 则

$$r_{\pi_1} = \frac{rr_0 - h}{r} + \rho$$

$$S = \left[r \left(1 - \frac{v_R}{v_{\pi_1}} \right) \right] \text{ds}_{\pi_1} + \left[r \frac{v_R}{v_{\pi_1}} \right] P_1 = \left[r \frac{v_R + ks}{v_{\pi_1} + ks} \right] P_1$$

$$\beta = \left(g_1^{r \sum_{i=1, i \neq \pi_1}^n r_i v_i} \cdot g_2^{r \sum_{i=1, i \neq \pi_1}^n r_i} \cdot g_0^{r\rho} \right)^{-1} =$$

$$e(\text{ds}_{\pi_1}, [-r \sum_{i=1, i \neq \pi_1}^n r_i (v_i + ks)] P_2) \cdot g_0^{-r\rho} =$$

$$e \left([ks] P_1, \left[\frac{-r \sum_{i=1, i \neq \pi_1}^n r_i (v_i + ks)}{v_{\pi_1} + ks} - r\rho \right] P_2 \right)$$

SC 也可视为由签密者 ID_{π_2} ($\pi_2 \in \{1, 2, \dots, n\} \setminus$

$\{\pi_1\}$) 生成, 这是因为, 令 $r' = \frac{r(v_{\pi_2} + ks)}{v_{\pi_1} + ks}$, $\rho' =$

$r_{\pi_2} + \frac{(v_{\pi_1} + ks)(h - rr_0)}{r(v_{\pi_2} + ks)}$, 有 $r'\rho' = r'r_{\pi_2} + h - rr_0$,

则

$$S = \left[\frac{r(v_{\pi_2} + ks)}{v_{\pi_1} + ks} \cdot \frac{v_R + ks}{v_{\pi_2} + ks} \right] P_1 =$$

$$\left[r' \frac{v_R + ks}{v_{\pi_2} + ks} \right] P_1 = \left[r' \left(1 - \frac{v_R}{v_{\pi_2}} \right) \right] \text{ds}_{\pi_2} + \left[r' \frac{v_R}{v_{\pi_2}} \right] P_1$$

$$\beta = e \left([ks] P_1, \left[\frac{-r(v_{\pi_2} + ks) \sum_{i=1, i \neq \pi_2}^n r_i (v_i + ks)}{(v_{\pi_1} + ks)(v_{\pi_2} + ks)} + \right. \right.$$

$$\left. \left. rr_{\pi_1} - \frac{rr_{\pi_2}(v_{\pi_2} + ks)}{v_{\pi_1} + ks} - r\rho \right] P_2 \right) =$$

$$e \left([ks] P_1, \left[\frac{-r' \sum_{i=1, i \neq \pi_2}^n r_i (v_i + ks)}{(v_{\pi_2} + ks)} + \right. \right.$$

$$\left. \left. rr_0 - h + r\rho - r'r_{\pi_2} - r\rho \right] P_2 \right) =$$

$$e(ds_{\pi_2}, [-r' \sum_{i=1, i \neq \pi_2}^n r_i(v_i + ks)] P_2) \cdot g_0^{-r\rho'} = \left(e(ds_{\pi_2}, P_2)^{r' \sum_{i=1, i \neq \pi_2}^n r_i v_i} \cdot e(ds_{\pi_2}, P_{pub-s})^{r' \sum_{i=1, i \neq \pi_2}^n r_i} \cdot g_0^{r\rho'} \right)^{-1}$$

又 $r_{\pi_2} = \frac{r'r_0' - h}{r'} + \rho'$, 则 $r_0' = \frac{r'r_{\pi_2} + h - r'\rho'}{r'} = \frac{r_0(v_{\pi_1} + ks)}{v_{\pi_2} + ks}$, 且 $r'r_0' = rr_0$ 。即 SC 同样符合由 ID_{π_2} 作为签密者的计算过程推导。

当环签密过程所采用的随机数源满足均匀分布时, 签密者 ID_{π_1} 的随机数 $(r, r_0, r_1, \dots, r_{\pi_1-1}, r_{\pi_1+1}, \dots, r_n, \rho)$ 与签密者 ID_{π_2} 的随机数 $(r', r_0', r_1, \dots, r_{\pi_2-1}, r_{\pi_2+1}, \dots, r_n, \rho')$ 都是随机且独立的, 即使在计算能力无限并且掌握主私钥 ks 的敌手看来, 判断签密者是 ID_{π_1} 还是 ID_{π_2} 时仍无任何优势, 故无法在集合 U 内辨认实际签名者。因此, 本文方案满足完全匿名性。证毕。

5 性能分析与实验

本节对本文方案性能进行理论分析与实验测试, 并与同类环签密方案(文献[29]的 2 个方案)、目前性能最好的 SM9 环签名^[40]和 SM9 加密^[5]的组合方案(下文简称组合方案)、基于国际 IBC (采

用对称双线性群)的方案^[30]以及基于椭圆曲线的方案^[32]进行对比。

5.1 性能分析

表 3 列出了各方案在最优实现方式下, 用户私钥生成、环签密和解密验证 3 个算法中各项耗时运算的次数。其中, SM、SM₁、SM₂ 分别表示群 G 、 G_1 、 G_2 上的标量乘, E 表示群 G_T 上的幂, BP 表示双线性对, HTP 表示哈希映射到椭圆曲线点的运算, n 表示环成员数量。有限域 F_N 上的运算、群 G_1 、 G_2 加法、群 G_T 乘法、哈希运算 H_1 、 H_2 等低耗时运算(合计占比不足 2%)以及预计算步骤和对称加解密未计入。

本文方案的环签密与解密验证算法通过相对轻量的有限域运算合并环成员信息, 所有耗时运算均为常数次, 优于文献[29]的 2 个线性开销方案。通过签名与加密的融合设计, 计算开销较组合方案进一步下降。

在通信开销方面, 各方案的系统公钥、用户私钥和环签密消息的长度如表 4 所示。其中, $|G| = |G_1| = 33 \text{ B}$ 、 $|G_2| = 65 \text{ B}$ 、 $|G_T| = 384 \text{ B}$ 、 $|Z_N| = 32 \text{ B}$ 表示对应群元素的字节数^[4], 系统公钥不包含 P_1 、 P_2 等国标规定的公共参数, 环签密消息不包含原始消息 M 对应的密文 C 、环成员集合和时间戳。

由表 4 可知, 基于 SM9 方案的系统公钥和用户

表 3 标识环签密方案的计算开销

方案	私钥生成	环签密	解密验证
文献[29]方案 1	SM ₁ + SM ₂	(n + 3)SM ₁ + 4E	nSM ₁ + E + 3BP
文献[29]方案 2	SM ₁ + SM ₂	(n + 4)SM ₁ + E + BP	nSM ₁ + E + 3BP
组合方案	SM ₁ + SM ₂	3SM ₁ + 5E	2SM ₂ + E + 2BP
文献[30]方案	HTP + SM	nHTP + (n + 3)SM + BP	nHTP + nSM + 3BP
文献[32]方案	2SM	(2n + 4)SM	(2n + 2)SM
本文方案	SM ₁ + SM ₂	2SM ₁ + 4E	2SM ₂ + E + BP

表 4 标识环签密方案的通信开销

方案	系统公钥	用户私钥	环签密消息
文献[29]方案 1	$ G_2 + G_1 $	$ G_2 + G_1 $	$ G_T + (n + 1) G_1 + Z_N $
文献[29]方案 2	$ G_2 + G_1 $	$ G_2 + G_1 $	$(n + 1) G_1 + Z_N $
组合方案	$ G_2 + G_1 $	$ G_2 + G_1 $	$ G_T + 2 G_1 + (n + 1) Z_N $
文献[30]方案	$ G $	$ G $	$(n + 2) G $
文献[32]方案	$ G $	$2 Z_N $	$(n + 3) G + Z_N $
本文方案	$ G_2 + G_1 $	$ G_2 + G_1 $	$ G_T + G_1 + (n + 1) Z_N $

私钥长度相同, 环签密消息长度都随 n 线性增长。本文方案环签密消息线性增长的部分略低于文献[29]方案、文献[30]方案和文献[32]方案, 较组合方案也有所减少, 降低了传递环签密消息的通信开销。

5.2 实验测试

本节基于国密算法 Python 库 hggm^[41] 实现上述各方案, 并进行对比实验。实验计算机配置如表 5 所示。

表 5 实验计算机配置

项目	配置
设备类型	PC
操作系统	Windows 10 64 位
CPU	Intel Core i3-10110U (2 核心 4 线程)
内存	8 GB LPDDR3 2 133 MHz
硬盘	SAMSUNG MZVLB512HBJQ-000L7
Python 版本	3.7.1

表 6 列出了当环成员数量 n 为 4、16、64、256、1 024 时各方案环签密和解密验证的耗时 (单位为 ms, 取 500 次测试的平均值, 不含预计算)。对称加解密采用基于 KDF 的模 2 加法, M 长度仅为 15~17 B, 耗时占比不足 1%。

表 6 各项算法测试结果

方案	算法	环成员数量/个				
		4	16	64	256	1 024
文献[29]方案 1	环签密	24.02	33.70	67.00	204.84	757.87
文献[29]方案 2		35.39	46.20	83.30	239.11	830.93
组合方案		26.01	27.08	28.02	30.45	42.29
文献[30]方案		44.18	111.03	377.92	1 423.71	5 707.84
文献[32]方案		19.74	87.87	355.37	1 400.53	5 676.28
本文方案		20.45	21.20	21.90	24.67	36.45
文献[29]方案 1	解密验证	94.25	145.07	344.22	1 122.24	4 292.10
文献[29]方案 2		91.87	144.93	343.30	1 136.41	4 259.42
组合方案		54.13	56.47	57.36	60.19	71.30
文献[30]方案		91.86	152.37	394.07	1 301.59	5 218.85
文献[32]方案		23.46	83.68	326.76	1 234.35	5 137.13
本文方案		32.41	33.81	34.51	38.33	48.55

由表 6 数据可知, 随着 n 由 4 增加到 1 024, 本文方案与组合方案的耗时仅小幅增长, 文献[29]方

案、文献[30]方案和文献[32]方案的耗时均随 n 线性增长。当 $n = 1 024$ 时, 本文方案的环签密和解密验证速率分别为文献[29]较快方案 (方案 1 环签密较快, 方案 2 解密验证较快) 的 20.79 倍和 87.73 倍, 较组合方案分别提升 16.02% 和 46.86%。

综上, 本文方案环签密与解密验证的计算开销近似常数, 较现有同类方案降低了通信开销并提升了算法性能, 尤其在较大环规模时有显著优势。

6 结束语

标识环签密技术融合了标识密码、环签名与加密, 在需同时保障匿名性与机密性的场景中前景广阔, 既避免了 PKI 体系的建设与管理成本, 相比独立应用环签名与公钥加密的方案也更为高效。本文基于国密算法 SM9 设计了一种环签密方案, 在确保可证安全的前提下将环签名与密钥封装的核心步骤深度融合, 并将环签密和解密验证的计算开销降至近似常数级。通过形式化的安全规约方法, 在 ROM 下证明了本文方案满足 IND-CCA 和 EUF-CMIA 安全性, 并实现了完全匿名性。理论分析和实验表明, 本文方案在计算效率和通信开销上均优于同类方案以及当前性能最好的 SM9 环签名与加密的组合方案。接下来将尝试在证明 IND-CCA 安全性时避免依赖 Gap 类假设, 以进一步提升此类方案的理论安全性。

参考文献:

- [1] ZHENG Y L. Digital signcryption or how to achieve cost (signature & encryption) cost (signature) + cost (encryption)[C]//Advances in Cryptology — CRYPTO 1997. Berlin: Springer, 1997: 165-179.
- [2] RIVEST R L, SHAMIR A, TAUMAN Y. How to leak a secret[C]//2001 International Conference on the Theory and Application of Cryptology and Information Security (ASIACRYPT). Berlin: Springer, 2001: 552-565.
- [3] HUANG X Y, SUSILO W, MU Y, et al. Identity-based ring signcryption schemes: cryptographic primitives for preserving privacy and authenticity in the ubiquitous world[C]//Proceedings of the 19th International Conference on Advanced Information Networking and Applications (AINA'05) Volume 1 (AINA papers). Piscataway: IEEE Press, 2005: 649-654.
- [4] 国家市场监督管理总局, 国家标准化管理委员会. 信息安全技术 SM9 标识密码算法 第 1 部分: 总则: GB/T 38635.1—2020[S]. 北京: 中国标准出版社, 2020.
State Administration for Market Regulation, National Standardization Administration. Information security technology-Identity-based cryptographic algorithms SM9: Part 1: General: GB/T 38635.1—2020[S]. Bei-

- jing: Standards Press of China, 2020.
- [5] 国家市场监督管理总局, 国家标准化管理委员会. 信息安全技术 SM9 标识密码算法 第 2 部分: 算法: GB/T 38635.2—2020[S]. 北京: 中国标准出版社, 2020.
- State Administration for Market Regulation, National Standardization Administration. Information security technology-Identity-based cryptographic algorithms SM9: Part 2: Algorithms: GB/T 38635.2—2020[S]. Beijing: Standards Press of China, 2020.
- [6] 安浩杨, 何德彪, 包子健, 等. 基于 SM9 数字签名的环签名及其在区块链隐私保护中的应用[J]. 计算机研究与发展, 2023, 60(11): 2545-2554.
- AN H Y, HE D B, BAO Z J, et al. Ring signature based on the SM9 digital signature and its application in blockchain privacy protection[J]. Journal of Computer Research and Development, 2023, 60(11): 2545-2554.
- [7] 谢振杰, 尹小康, 蔡瑞杰, 等. 基于国密算法 SM9 的可追踪环签名方案[J]. 通信学报, 2025, 46(3): 199-211.
- XIE Z J, YIN X K, CAI R J, et al. Traceable ring signature scheme based on domestic cryptographic algorithm SM9[J]. Journal on Communications, 2025, 46(3): 199-211.
- [8] 蒲浪, 林超, 伍玮, 等. 基于国密 SM9 的公钥认证可搜索加密方案[J]. 软件学报, 2025, 36(9): 4271-4284.
- PU L, LIN C, WU W, et al. Public-key authenticated encryption scheme with keyword search from Chinese cryptographic SM9[J]. Journal of Software, 2025, 36(9): 4271-4284.
- [9] 周权, 陈民辉, 卫凯俊, 等. 基于 SM9 的支持策略隐藏的追踪属性签名[J]. 计算机研究与发展, 2025, 62(4): 1065-1074.
- ZHOU Q, CHEN M H, WEI K J, et al. Traceable attribute-based signature for SM9-based support policy hidden[J]. Journal of Computer Research and Development, 2025, 62(4): 1065-1074.
- [10] 刘行, 明洋, 王晨豪, 等. 基于 SM9 的可验证公平标识广播代理重加密[J]. 计算机学报, 2025, 48(3): 721-737.
- LIU H, MING Y, WANG C H, et al. Verifiable and fair identity-based broadcast proxy re-encryption based on SM9[J]. Chinese Journal of Computers, 2025, 48(3): 721-737.
- [11] LIU X H, HUANG X Y, CHENG Z H, et al. Fault-tolerant identity-based encryption from SM9[J]. Science China Information Sciences, 2024, 67(2): 104-117.
- [12] MALONE-LEE J. Identity-based signcryption[J]. IACR Cryptology ePrint Archive, 2002(98): 1-8.
- [13] LIBERT B, QUISQUATER J J. A new identity based signcryption scheme from pairings[C]//Proceedings 2003 IEEE Information Theory Workshop. Piscataway: IEEE Press, 2003: 155-158.
- [14] BARRETO P S L M, LIBERT B, MCCULLAGH N, et al. Efficient and provably-secure identity-based signatures and signcryption from bilinear maps[C]//Advances in Cryptology - ASIACRYPT 2005. Berlin: Springer, 2005: 515-532.
- [15] YU Y, YANG B, SUN Y, et al. Identity based signcryption scheme without random oracles[J]. Computer Standards & Interfaces, 2009, 31(1): 56-62.
- [16] JIN Z P, WEN Q Y, DU H Z. An improved semantically-secure identity-based signcryption scheme in the standard model[J]. Computers & Electrical Engineering, 2010, 36(3): 545-552.
- [17] LI X X, QIAN H F, WENG J, et al. Fully secure identity-based signcryption scheme with shorter signciphertext in the standard model[J]. Mathematical and Computer Modelling, 2013, 57(3/4): 503-511.
- [18] SELVI S S D, VIVEK S S, VINAYAGAMURTHY D, et al. ID based signcryption scheme in standard model[C]//2012 International Conference on Provable Security. Berlin: Springer, 2012: 35-52.
- [19] LI F G, TAKAGI T. Secure identity-based signcryption in the standard model[J]. Mathematical and Computer Modelling, 2013, 57(11/12): 2685-2694.
- [20] KARATI A, ISLAM S H, BISWAS G P, et al. Provably secure identity-based signcryption scheme for crowdsourced industrial Internet of things environments[J]. IEEE Internet of Things Journal, 2018, 5(4): 2904-2914.
- [21] WANG X M, ZHANG Y, GUPTA B B, et al. An identity-based signcryption on lattice without trapdoor[J]. Journal of Universal Computer Science, 2019, 25(3): 282-293.
- [22] ELTAYIEB N, ELHABOB R, HASSAN A, et al. A blockchain-based attribute-based signcryption scheme to secure data sharing in the cloud[J]. Journal of Systems Architecture, 2020, 102: 101653.
- [23] MANDAL S, BERA B, SUTRALA A K, et al. Certificateless-signcryption-based three-factor user access control scheme for IoT environment[J]. IEEE Internet of Things Journal, 2020, 7(4): 3184-3197.
- [24] 赖建昌, 黄欣沂, 何德彪, 等. 基于商密 SM9 的高效标识签密[J]. 密码学报, 2021, 8(2): 314-329.
- LAI J C, HUANG X Y, HE D B, et al. An efficient identity-based signcryption scheme based on SM9[J]. Journal of Cryptologic Research, 2021, 8(2): 314-329.
- [25] 黄欣沂, 张福泰, 伍玮. 一种基于身份的环签密方案[J]. 电子学报, 2006, 34(2): 263-266.
- HUANG X Y, ZHANG F T, WU W. An identity-based ring signcryption scheme[J]. Acta Electronica Sinica, 2006, 34(2): 263-266.
- [26] ZHU Z C, ZHANG Y Q, WANG F J. An efficient and provable secure identity-based ring signcryption scheme[J]. Computer Standards & Interfaces, 2009, 31(6): 1092-1097.
- [27] GUO Z Z, LI M C, FAN X X. Attribute-based ring signcryption scheme[J]. Security and Communication Networks, 2013, 6(6): 790-796.
- [28] YU H F, WANG W K, ZHANG Q. Certificateless anti-quantum ring signcryption for network coding[J]. Knowledge-Based Systems, 2022, 235: 107655.
- [29] 包嘉斌. 基于 SM9 标识密码算法的环签密方案设计及其应用研究[D]. 武汉: 武汉大学, 2022.
- BAO J B. Identity-based ring signcryption scheme based on SM9 algorithm[D]. Wuhan: Wuhan University, 2022.
- [30] DU H Z, WEN Q Y, ZHANG S S, et al. An improved conditional privacy protection scheme based on ring signcryption for VANETs[J]. IEEE Internet of Things Journal, 2023, 10(20): 17881-17892.
- [31] CAI Y, ZHANG H, FANG Y G. A conditional privacy protection scheme based on ring signcryption for vehicular ad hoc networks[J]. IEEE Internet of Things Journal, 2021, 8(1): 647-656.
- [32] 罗铭, 詹骥榜, 邱敏蓉. 面向 V2I 通信的异构跨域条件隐私保护环签密方案[J]. 信息安全学报, 2024, 24(7): 993-1005.
- LUO M, ZHAN Q B, QIU M R. A heterogeneous cross-domain condi-

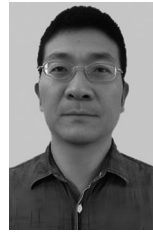
tional privacy protection ring signcryption scheme for V2I communication[J]. Netinfo Security, 2024, 24(7): 993-1005.

- [33] POINTCHEVAL D, STERN J. Security arguments for digital signatures and blind signatures[J]. Journal of Cryptology, 2000, 13(3): 361-396.
- [34] HERRANZ J, SÁEZ G. Forking lemmas for ring signature schemes[C]// Progress in Cryptology - INDOCRYPT 2003. Berlin: Springer, 2003: 266-279.
- [35] 周瑾, 张亚娟, 祝跃飞. 一般的基于身份签名体制与 Forking 引理[J]. 信息工程大学学报, 2007, 8(2): 129-133.
ZHOU J, ZHANG Y J, ZHU Y F. Generic ID-based signature schemes and forking lemma[J]. Journal of Information Engineering University, 2007, 8(2): 129-133.
- [36] 周敏, 傅贵, 周权. 分叉引理对一般基于身份环签名体制的证明[J]. 通信技术, 2008, 41(7): 183-184, 188.
ZHOU M, FU G, ZHOU Q. Proof of generic ID-based ring signature by forking lemma[J]. Communications Technology, 2008, 41(7): 183-184, 188.
- [37] CHENG Z H. Security analysis of SM9 key agreement and encryption[C]// 2018 International Conference on Information Security and Cryptology (INSCRYPT). Berlin: Springer, 2019: 3-25.
- [38] 赖建昌, 黄欣沂, 何德彪, 等. 国密 SM9 数字签名和密钥封装算法的安全性分析[J]. 中国科学: 信息科学, 2021, 51(11): 1900-1913.
LAI J C, HUANG X Y, HE D B, et al. Security analysis of SM9 digital signature and key encapsulation[J]. Scientia Sinica (Informationis), 2021, 51(11): 1900-1913.
- [39] SELVI S S D, VIVEK S S, RANGAN C P. On the security of identity based ring signcryption schemes[C]//2009 International Conference on Information Security. Berlin: Springer, 2009: 310-325.
- [40] 谢振杰, 刘胜利, 贾志鹏, 等. 基于 SM9 的环签名: 常数级计算开销的方案构造[J]. 通信学报, 2025, 46(11): 104-113.
XIE Z J, LIU S L, JIA Z P, et al. SM9-based ring signature: a scheme with constant-time computational overhead[J]. Journal on Communications, 2025, 46(11): 104-113.
- [41] 谢振杰, 刘奕明, 蔡瑞杰, 等. 国密算法 SM9 的性能优化方法[J]. 计算机科学, 2025, 52(6): 390-396.
XIE Z J, LIU Y M, CAI R J, et al. Performance optimization method for domestic cryptographic algorithm SM9[J]. Computer Science, 2025, 52(6): 390-396.

[作者简介]



谢振杰 (1995-), 男, 湖南湘潭人, 信息工程大学博士生, 主要研究方向为云安全、密码学应用。



刘胜利 (1973-), 男, 河南周口人, 博士, 信息工程大学教授、博士生导师, 主要研究方向为网络设备安全、网络攻击检测。



谢耀滨 (1981-), 男, 福建漳州人, 博士, 信息工程大学副教授、硕士生导师, 主要研究方向为嵌入式系统安全、工业控制系统安全。



李路凯 (1999-), 男, 河南周口人, 信息工程大学助理工程师, 主要研究方向为网络设备安全、二进制代码分析。



卫明远 (2004-), 男, 河南洛阳人, 信息工程大学硕士生, 主要研究方向为网络空间安全。